

بررسی‌های ریخت‌زمین‌ساختی و پارینه لرزه‌شناختی پاره گسله سهلان، قطعه شمال باختری گسل شمال تبریز

الله احمدزاده^(۱)، حمید نظری^(۲)، مرتضی طالیبیان^(۳)، شهریار سلیمانی آزاد^(۴) و محمد فریدی^(۵)

۱. کارشناس ارشد تکتونیک، پژوهشکده علوم زمین، سازمان زمین‌شناسی و اکتشافات معدنی کشور
۲. دکتری تکتونیک، پژوهشکده علوم زمین، سازمان زمین‌شناسی و اکتشافات معدنی کشور
۳. دکتری تکتونیک، پژوهشکده علوم زمین، سازمان زمین‌شناسی و اکتشافات معدنی کشور
۴. دکتری تکتونیک، سازمان زمین‌شناسی و اکتشافات معدنی کشور
۵. کارشناس ارشد تکتونیک، سازمان زمین‌شناسی و اکتشافات معدنی کشور مرکز تبریز

تاریخ دریافت: ۹۱/۱۲/۲۷

تاریخ پذیرش: ۹۲/۷/۸

چکیده

گسل شمال تبریز یکی از گسل‌های راستالغز - راستبر در شمال باختری ایران است که با راستای شمال باختری - جنوب خاوری از صوفیان تا بستان‌آباد امتداد یافته و در قالب دو قطعه گسلی اصلی مشاهده می‌شود. در پژوهش حاضر، به منظور مطالعه آخرین جنبش‌های زمین‌ساختی پهنه گسلی شمال تبریز، پدیده‌های ریخت‌زمین‌ساختی جوان و نیز پارینه لرزه‌شناختی قطعه شمال باختری گسل شمال تبریز در گستره سهلان مورد ارزیابی قرار گرفته است. در این پژوهش، گسیختگی گسله جوان سهلان با درازای حدود ۱۰ کیلومتر و راستای چیره شمال باختری - جنب خاوری، در شمال باختری فروندگاه بین‌المللی تبریز به نقشه درآمده است. در بررسی‌های ریخت‌زمین‌ساختی انجام گرفته در این گستره، جابجایی راستبر احتمالاً منسوب به آخرین رویداد مهلرزه‌ای (MW=۷/۴) میلادی، $3/5 \pm 0/5$ متر و جابجایی شاقولی آن بین ۰ و ۰/۵ متر برآورد گردید. بنابراین، با توجه به نسبت بین لغزش افقی و لغزش شاقولی (H/V) می‌توان سازوکار چیره این قطعه از گسل شمال تبریز را راستالغز - راستبر در نظر گرفت که در تایید با داده‌های جدید GPS این گستره از کشور می‌باشد. بر پایه پژوهش‌های پارینه لرزه‌شناختی به عمل آمده در پژوهش حاضر، با بررسی دیواره‌ای عمود بر راستای گسل شمال تبریز در شمال روستای سهلان، آثار زمین‌شناختی چهار پارینه زمین‌لرزه با بزرگای نسبی (در مقیاس MW) بیش از ۶/۴ شناسایی گردیده است. بزرگای جوان‌ترین رخداد ثبت شده در نهشته‌های ترانشه یاد شده، در محدوده ۷ برآورد شده است که با توجه به موقعیت‌های جغرافیایی، این رویداد را می‌توان در پیوند با زمین‌لرزه تاریخی سال ۱۷۸۰ میلادی (MW=۷/۴) دانست.

واژه‌های کلیدی: پارینه لرزه‌شناختی، ریخت‌زمین‌ساخت، شمال باختر ایران، گسل سهلان، گسل شمال تبریز.

مقدمه

در شمال باختری ایران چندین گسل راستالغز وجود دارد که سامانه گسلی شمال تبریز از بزرگترین آن‌ها است. زمین‌لرزه دستگاهی بزرگی در این گستره به ثبت نرسیده است.

تراکنشی مسئول ایجاد این گسل‌ها، رژیم زمین‌ساختی عهد حاضر نیست. به گفته دیگر این بخش از گستره مورد بررسی در زمان رسوب‌گذاری واحدهای سنگی میوسن و میو-پلیوسن انساط بوده است. برداشت‌های صحرایی ورقه‌های تبریز I (فریدی و خدابنده، ۱۳۹۰-الف) و کرگه (فریدی و خدابنده، ۱۳۹۰-ب) در ارتباط با رسوبات کواترنری، نشان‌گر بالاًمدگی (و نه فرونشست) این رسوبات و قطع شدن ساختارهای انساطی کهن توسط ساختارهای تراکمی امروزی هستند.

پژوهش‌های انجام گرفته در بخش‌های گوناگون این پهنه گسلی گویای وجود آثار ریخت‌زمین‌ساختی حاصل از جنبایی‌های جوان آن می‌باشد. Hessami et al., (2003) با تمرکز مطالعات ریخت‌زمین‌ساختی و پارینه لرزه‌شناسی بر روی قطعه شمال باختری، لغزش افقی هر رویداد و نرخ لغزش را به ترتیب 4 ± 0.5 متر و $3/1-6/4$ میلی‌متر در سال برآورد نمودند. از جمله جدیدترین پژوهش‌های انجام شده در زمینه بررسی داده‌های سامانه موقعیت‌یاب جهانی (GPS)، می‌توان به پژوهش Djamour (2011) et al., اشاره نمود. ایشان با استفاده از داده‌های GPS ۲۵ ایستگاه جدید، نرخ لغزش راستبر ۸ میلی‌متر در سال محاسبه شده توسط Masson et al., (2006) را تایید می‌کنند ولی کششی کمتر از $1-2 \pm 1$ میلی‌متر در سال را بر روی قطعه خاوری گسل شمال تبریز و تالش پیشنهاد می‌کنند. به باور ایشان، به طرف باختر، گسل چالدران و قطعه باختری گسل شمال تبریز به صورت راستالغز محض و بدون هیچ کشش یا فشارش خاصی عمل می‌کنند. Ritz et al., (2011) بر روی شاخه شمال باختری گسل شمال تبریز، از طریق سن سنجی جابجایی میانگین 322 ± 20 متر بر روی بادزن‌های آبرفتی (در خاور روتای خواجه‌مرجان)، نرخ لغزش افقی را حدود ۷ میلی‌متر در سال برآورد نمودند [همخوان با نرخ لغزش حدود ۷ میلی‌متر در سال تخمین زده شده با روش ژئودتیکی (اندازه‌گیری‌های GPS) و روش زمین‌شناسی Kara- (khanian et al., 1996; Hessami et al., 2003).

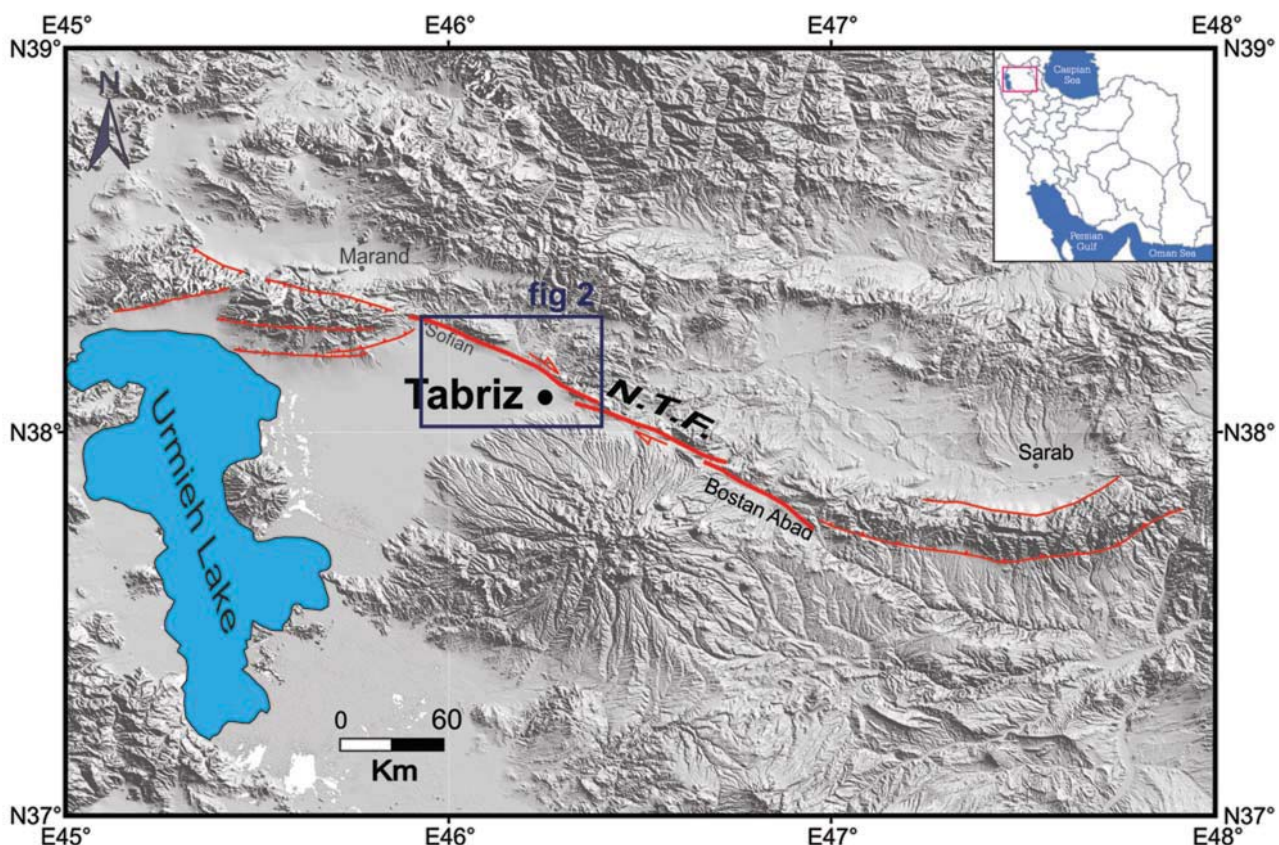
محدوده مطالعاتی

در این پژوهش، با بررسی آثار ریخت‌زمین‌ساختی و نیز بررسی ترانشه پارینه لرزه‌شناسی بر روی یکی از شاخه‌های گسلی قطعه شمال باختری گسل شمال تبریز، سازوکار جوان این پهنه گسلی موردن ارزیابی قرار می‌گیرد تا با به نقشه کشیدن هر چه بهتر سامانه گسلی شمال تبریز، در برآورد خطر زمین‌لرزه کلان شهر تبریز گامی به پیش برداشته شود. محدوده موردن مطالعه در حد فاصل طول‌های جغرافیایی $30^{\circ} - 40^{\circ}$ و $30^{\circ} - 46^{\circ}$ خاوری و عرض‌های جغرافیایی $30^{\circ} - 38^{\circ}$ شمالی واقع گردیده است و وسعتی حدود ۵۰۰ کیلومترمربع را در بر می‌گیرد. مختصات محدوده موردن نظر دربرگیرنده مساحت بیشتری از شهرستان تبریز و قسمت جزئی از شهر صوفیان می‌باشد (شکل ۱).

Ambraseys and Melville, 1982; Berberian, 1997) توجه به توزیع خوش‌های رویدادهای لرزه‌ای گستره تبریز از نظر زمانی (Solaymani Azad, 2009; Berberian, 1997; Solaymani Azad, 2009) آزاد و همکاران، ۱۳۸۸)، تمرکز مکانی و زمانی زمین‌لرزه‌های مرتبه با گسل شمال تبریز (Hessami et al., 2003) و نیز عدم رویداد زمین‌لرزه‌های بزرگ طی ۲۳۰ سال گذشته (Masson et al., 2006) از یک سو و نیز با توجه به گسترش روزافزون شهر تبریز با جمعیتی افزون بر $1/6$ میلیون نفر، لزوم شناخت ویژگی‌های لرزه‌زمین‌ساختی و نوزمین‌ساختی این پهنه گسلی بیشتر احساس می‌شود. در قطعه شمال باختری سامانه گسلی شمال تبریز، پس از پژوهش‌های پارینه - لرزه‌شناسی انجام شده در قطعه خواجه‌مرجان (Hessami et al., 2003)، در این پژوهش برای نخستین بار با استفاده از برش‌های طبیعی و مصنوعی اجرا شده بر روی نهشته‌های جوان، به بازشماری و بازخوانی تعداد رخدادهای لرزه‌ای منسوب از زمین‌لرزه‌های سده ۱۸ میلادی گسل شمال تبریز پرداخته شده است.

گسل شمال تبریز که ساختاری پیچیده با درازای ۱۲۰ کیلومتر و روند شمال باختری - جنوب خاوری ($E 135^{\circ} - N 115^{\circ}$) است و شبیه نزدیک به قائم دارد، از استان آباد تا صوفیان گسترش داشته و شواهدی از جابجایی‌های راستالغز راستبر را بر روی عکس‌های هوایی و تصاویر ماهواره‌ای نشان می‌دهد (Berberian and Arshadi, 1976). دیدگاه رویداد زمین‌لرزه‌ای تاریخی، گسل شمال تبریز را به دو قطعه شامل قطعه جنوب خاوری که بر اثر زمین‌لرزه سال ۱۷۲۱ میلادی و قطعه شمال باختری که بر اثر زمین‌لرزه سال ۱۷۸۰ میلادی گسیخته شده‌اند، تقسیم نمودند. بر پایه نظر Kara-Khanian et al., (2004) شهر تبریز در یک حوضه واکنشی واقع در میان این دو قطعه گسلی (با الگوی پلکانی راست‌دست) قرار گرفته است و تعدادی شاخه گسلی عهد حاضر این دو قطعه گسلی را در داخل شهر تبریز بهم وصل می‌کنند. (Berberian, 1997; Solaymani Azad, 2009)

با توجه به فراوانی گسل‌های نرمال در گستره شهر تبریز، Kara Khanian et al., (2004) تبریز را به عنوان یک حوضه واکنشی که امروزه در حال فرونشست در محل پوش - پله گسل‌های با آرایش نرdbانی است، معرفی کرده‌اند، با این حال بررسی‌های حاضر (فریدی و خدابنده، ۱۳۹۰-الف) حقایق دیگری را آشکار می‌سازد که این نظریه را دچار تردید می‌کند. بررسی‌های اخیر این گستره نشان می‌دهد که واحدهای سنگی دربردارنده این گسل‌های نرمال، دارای سن میوسن، میو-پلیوسن و پلیکواترنری می‌باشند که پس از گذراندن یک فاز فرسایشی توسط رسوبات جوان‌تر کواترنری به طور دگرگشیب پوشیده شده‌اند و مهم‌تر این که رژیم کششی یاد شده، رسوبات جوان را تحت تاثیر خود قرار نداده است. افزون بر آن، شواهد دگریختی‌های کششی همزمان با رسوب‌گذاری و دگریختی رسوب نرم، به فراوانی در آن‌ها دیده می‌شود. لذا این شواهد نشان‌گر آن است که سامانه انساطی



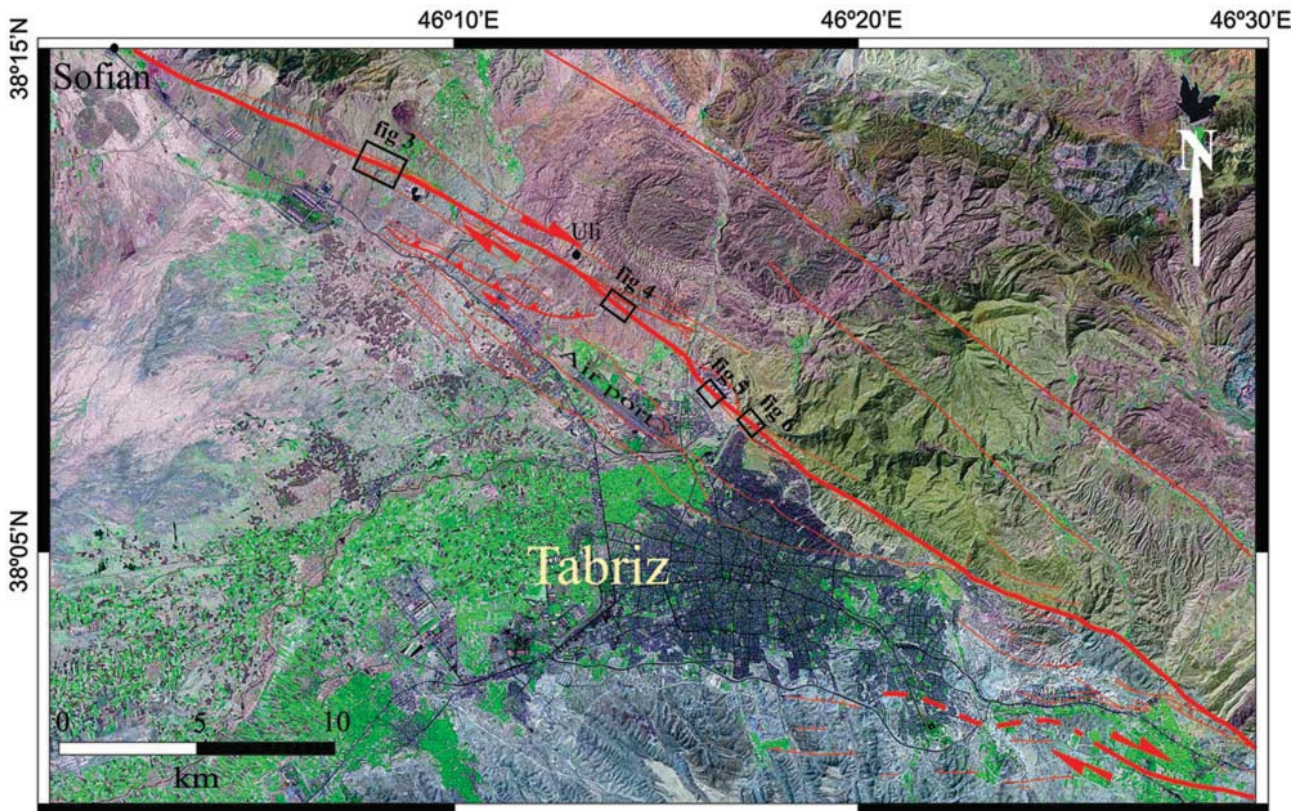
شکل ۱. پهنه گسلی تبریز، پایانه‌های گسلی آن و موقعیت شهر تبریز بر روی مدل ارتفاعی رقومی SRTM با قدرت تفکیک مکانی ۹۰ متر. (مستطیل آبی رنگ موقعیت شکل ۲ را نشان می‌دهد).

رویداد گسلش سطحی را نشان می‌دهد، شاخه‌های گسلی پیرامون آن نیز جابجایی نهشته‌های عهد حاضر را سبب شده‌اند. با بررسی عکس‌های هوایی (با مقیاس ۱:۵۰۰۰۰ و ۱:۲۰۰۰۰) و تصاویر ماهواره‌ای با دقت متفاوت، بر روی یکی از این شاخه‌های گسلی در فاصله ۲/۵ کیلومتری جنوبی قطعه شمال باختり گسل شمال تبریز و کم و بیش به موازات جاده تبریز- صوفیان، گسلی با سازوکار معکوس راست بر شناسایی گردید. با بررسی‌های میدانی در این محدوده، دیواره‌ای عمود بر این گسل در شمال رستای سهلان به درازای ۴۱ متر و بلندای ۷ متر یافت شد که به منظور احداث ساختمان حفر گردیده بود و مطالعات پارینه لرزه‌شناسی بر روی آن متمنزک گردید.

در میان روش‌های مختلف لوگبرداری ترانشه به لحاظ طول و ارتفاع زیاد دیواره و عدم توانایی در شبکه‌بندی تمام طول آن (به لحاظ فیزیکی) از روش غیر مستقیم عکس‌برداری و تهیه لوگ بر پایه تصاویر پانوراما شده استفاده گردیده است. در این روش، دیواره ترانشه از فاصله ثابت ۲ تا ۳ متری دیواره عکس‌برداری می‌شود، به‌طوری‌که هر عکس با عکس بعدی ۶۰ درصد هم پوشانی داشته باشد. برای عکس‌برداری از ترانشه مورد بررسی در این پژوهش از دوربین‌های ۱۲ و ۱۴ مگاپیکسل استفاده شده است. البته برای پرهیز از خطا در مراحل گوناگون، بازدید میدانی انجام و همسان‌سازی‌ها کنترل گردیده است.

روش کار
بررسی ویژگی‌های ریخت‌زمین‌ساختی برجستگی‌ها و فرورفتگی‌های سطح زمین همچون الگوی سامانه‌های رودخانه‌ای، پشتله‌های بریده شده توسط گسل‌ها و ... شاخص‌هایی هستند که در ارزیابی عملکرد زمین‌ساخت جنبا در این بخش مورد استفاده قرار گرفته‌اند. برای دستیابی به این منظور، با بررسی تصاویر ماهواره‌ای، عکس‌های هوایی و اطلاعات زمین‌ساختی و ... ساختگاه‌های مناسبی جهت تمرکز مطالعات شناسایی شد که در ادامه با انجام بررسی‌های میدانی اطلاعات تکمیلی فراهم آمد. در پژوهش حاضر، برای انجام بررسی‌های ریخت‌زمین‌ساختی در پهنه گسلی شمال تبریز، بیشتر مطالعات بر روی بخش ازتری قطعه شمال باختり گسل شمالي تبریز متمرکز بوده است (شکل ۲). مهم‌ترین علت این امر بریده شدن آشکار نهشته‌های کواترنری و نیز مشاهده جابجایی‌های بسیار جوان در این بخش از پهنه گسلی می‌باشد. اثر سطحی گسل هم از روی تصاویر ماهواره‌ای و عکس‌های هوایی و هم از طریق برداشت‌های صحرایی به روشنی قابل مشاهده و پیگیری است. به سبب تکرار گسیختگی‌های سطحی، اثر گسل شمال تبریز بر روی زمین‌آشکارا دیده می‌شود (Hessami et al., 2003; Solaymani Azad, 2009).

در گستره مورد پژوهش، علاوه بر گسل شمال تبریز که نهشته‌های عهد حاضر را بریده و شواهد زمین‌ساختی روشنی از



شکل ۲. تصویر ماهواره‌ای Landsat 7 از موقعیت شهر تبریز بین دو قطعه اصلی گسل شمال تبریز و موقعیت قطعه شمال باختری گسل شمال تبریز و شاخه‌های گسلی پیرامون این قطعه گسلی. محل برخی از گسل‌ها برگرفته از Solaymani Azad et al., (2003) Karakhanian et al., (2004) Hessami et al., (2009) است (مستطیل‌های سیاه رنگ موقعیت شکل‌های ۳، ۴، ۵ و ۶ را نشان می‌دهند).

دارد ولی وجود صفحه گسلی تقریباً شاقولی و خط خش تقریباً افقی (۱ تا ۵ درجه) ثبت شده بر روی صفحه گسلی می‌تواند نشانی از حرکت جوان گسل به صورت راستالغز راست بر باشد. تغییرات شاقولی کم در نیمرخ‌های توپوگرافی می‌تواند نشان از چیرگی حرکات راستالغز در طی جنبش‌های جوان این قطعه باشد (احمدزاده و همکاران، ۱۳۹۰).

در طول گسل شمال تبریز، آبراهه‌های جابجا شده فراوانی به چشم می‌خورد که در سرتاسر طول این گسل با جنبش‌های راست بر جابجا شده‌اند. گسلش راستالغز گسل شمال تبریز باعث ایجاد انفصال در مسیر آبراهه‌ها شده و خمیدگی آبراهه‌ها را در محل عبور گسل سبب شده است. جابجایی آبراهه‌ها در طول این گسل یکسان نبوده و در نقاط مختلف گسل متفاوت است. تفاوت در در میزان جابجایی‌ها، حرکت گسل طی رویداد چند زمین لرزه مجزا و یا تفاوت سن آبراهه‌ها را منعکس می‌کند.

در پژوهش حاضر، کمترین مقدار جابجایی مشاهده شده در طول گسل شمال تبریز جابجایی آبراهه‌ای با میزان جابجایی راست بر حدود $2/9$ متر می‌باشد که در بخش شمال خاوری فروندگاه تبریز (شمال باختر تبریز) اندازه‌گیری گردید (شکل ۵) (تاکنون کمترین مقدار جابجایی افقی بر روی قطعه شمال باختری حدود $4/20$ متر و توسط Hessami et al., (2003) بیان گردیده بود). به احتمال زیاد این جابجایی‌ها در ارتباط با زمین‌لرزه سال

نتایج و بحث

در محدوده پهنه گسلی مورد پژوهش، عوارض زمین‌ریخت‌شناختی بسیاری شناسایی شده است که از جمله آن‌ها می‌توان به بادزن‌های آبرفتی جابجا شده، پشت‌های آبراهه‌های جابجا شده و آبراهه‌های رها شده یا آبراهه‌های بی‌سر اشاره نمود. این عوارض زمین‌ریخته‌های پلیوکواترنری بوده و نشان‌دهنده زمین‌ساخت جنبه در این گستره می‌باشد.

یکی از پشت‌های جابجا شده‌ای که در منطقه مورد مطالعه مشاهده و بررسی شد، پشت‌های در خاور روستای خواجه‌مرجان و نزدیک جاده متنه به روستای امند است. میزان جابجایی راستالغز راست بر گسل در این ساختگاه حدود ۲۰ متر اندازه‌گیری شده است (شکل ۳). پشت‌هایی بامیزان جابجایی حدود $3/5$ متر و $4/8$ متر نیز بر روی این قطعه گسلی شناسایی شده است که تفاوت در میزان جابجایی‌ها، رویداد چند زمین‌لرزه مجزا را در اثر حرکت گسل منعکس می‌کند.

از جمله شواهدی که در منطقه مورد توجه قرار گرفت، برش عرضی گسل در مسیر آبراهه‌ها در گذر از نهشته‌های جوان آبرفتی با سن کواترنری بود (شکل ۴). در این برش، اثر گسل کاملاً مشخص و خط خش روی صفحه گسلی به صورت افقی می‌باشد. نهشته‌های جوان کواترنری آشکارا توسط گسل بریده شده‌اند. اگرچه الگوی توپوگرافی نشان از جابجایی شاقولی

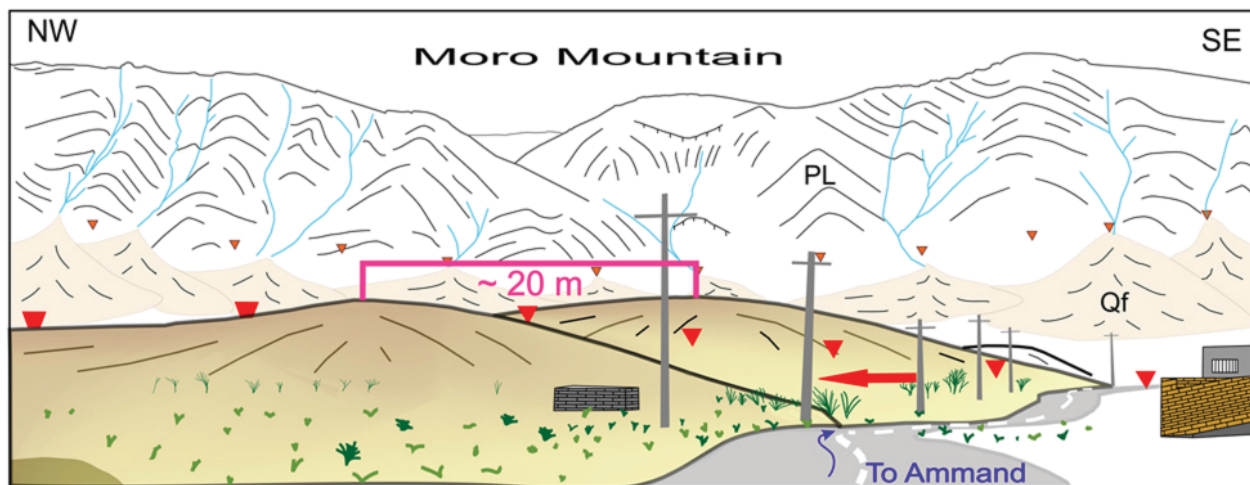
A



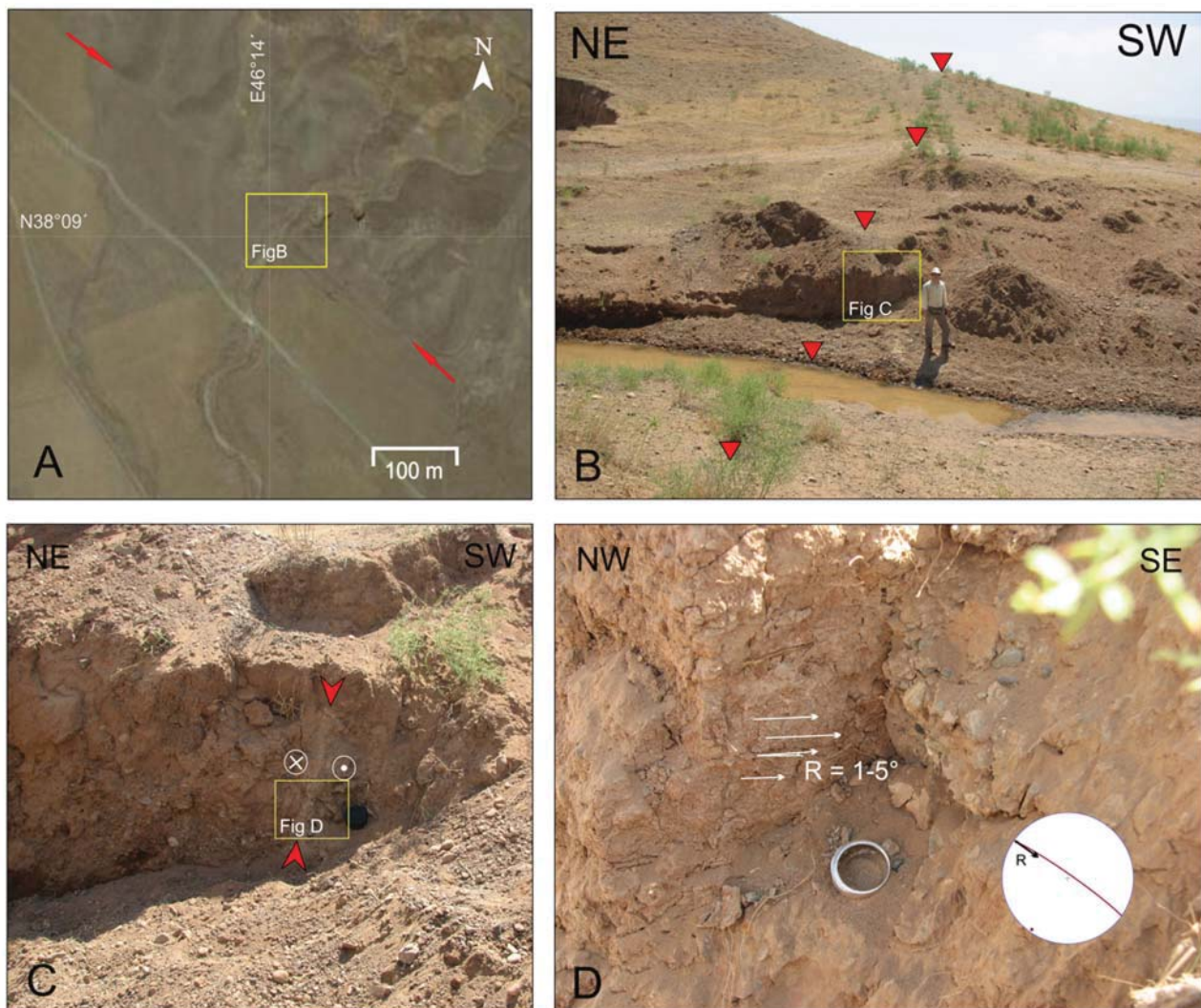
B



C



شکل ۳. (A) تصویر ماهواره ای Google Earth از محل عکس برداری (دایره سفید رنگ موقعیت عکس برداری را نشان می دهد)، (B) پسته های جابجا شده به صورت راستبر توسط گسل شمال تبریز در نزدیک جاده امند. محل این نقطه در شکل ۲ نیز مشخص گردیده است، (C) تصویر شماتیک از الف. سه گوشه های قرمز رنگ نشان گر موقعیت خط اثر گسل می باشد. (میزان جابجایی تجمعی راستالغز راستبر حدود ۲۰ متر اندازه گیری گردیده است).



شکل ۴. (A) نمایی از خط اثر گسل شمال تبریز بر روی زمین در جنوب خاور روستای اوغلی (شمال باختر تبریز) در تصویر ماهواره‌ای (B، Google earth) (B) در این ساختگاه، رشد خطی پوشش گیاهی بر روی سطح زمین نشان‌گر موقعیت خط اثر گسل می‌باشد، (C) تصویری از برش عرضی گسل در مسیر آبراهه که شبیه بسیار تند را نشان می‌دهد و نهشته‌های کواترنری در این محل توسط گسل تبریز بریده شده‌اند، (D) نمایی از خط خش گسلی بر روی صفحه گسلی که نشان‌گر سازوکار راستالفر - راست بر گسل شمال تبریز می‌باشد.

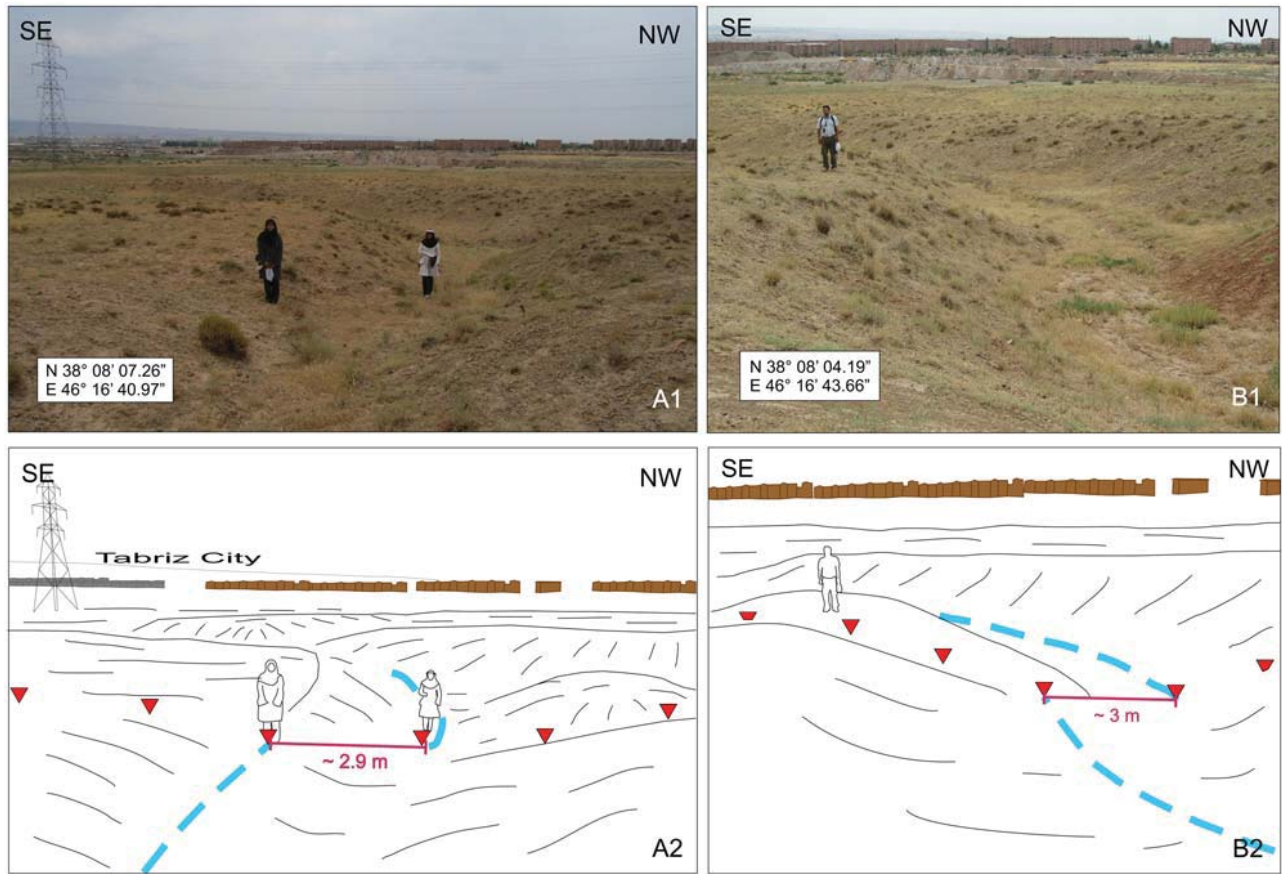
واحدهای سنگی نئوزن موجود در هسته تاقدیس رخنمون یابند. محدوده شمالی این رشته تپه‌ها به گونه سینوسی و با ماهیت گسل، از زمین‌های مسطح بخش جنوبی این گستره جدا می‌شود (شکل ۷).

به بیان فریدی و همکاران (۱۳۹۰)، با در نظر داشتن دگر ریختی ناحیه‌ای راستالفر همگرا، همچنین با توجه به رد مستقیم و خطی گسل شمال تبریز و رد منحنی و سینوسی گسل سهلاخان، ساختارها و سیماهای نوزمین - ساختی و ریخت‌زمین‌ساختی در این گستره نشان می‌دهند که بخش مهمی از مؤلفه حرکات افقی توسط گسل شمال تبریز و حرکات شاقولی (سازوکار معکوس) به وسیله گسل سهلاخان جبران می‌شود.

راستای میانگین این گسل 120° E، شیب آن به سوی شمال خاور و سازوکار آن راندگی همراه با جابجایی راست بر می‌باشد. در پژوهش حاضر، برای بررسی‌های بیشتر بر روی این گسل

۱۷۸۰ میلادی می‌باشد. از جمله پشتنهایی که در این محدوده مشاهده شد، پشتنهای در شمال خاور فروگاه با میزان جابجایی $3/5$ متر در مجاورت آبراهه‌ای با جابجایی حدود ۱۰ متر است که جابجایی افقی تجمعی و نیز جابجایی منسوب به آخرین رویداد لرزه‌ای را نشان می‌دهد (شکل ۶). در این ساختگاه، با توجه به این‌که ساحل سمت چپ بیشتر در معرض فرسایش قرار دارد میزان جابجایی در هر دو ساحل یکسان نیست و در ساحل سمت راست جابجایی ۱۰ متر را می‌توان مشاهده کرد.

در فاصله $2/5$ کیلومتری گسل شمال تبریز و کم و بیش به موازات جاده تبریز - صوفیان، ردیفی از تپه‌ها خودنمایی می‌کنند که ساختاری به شکل تاقدیس نامتقارن را نشان می‌دهند. فرسایش این زمین‌ها که بیشتر در ارتباط با بالا آمدگی زمین‌ساختی آن‌ها صورت گرفته است، سبب شده تا نهشته‌های جوان حذف شده و



شکل ۵. (A1) جابجایی راستبر آبراهه‌ها در شمال خاور فرودگاه تبریز، شمال باختر تبریز، (A2) میزان جابجایی ۲/۹ متر اندازه‌گیری شده است، (B1) جابجایی راستبر آبراهه‌ها در شمال خاور فرودگاه تبریز، شمال باختر تبریز، (B2) میزان جابجایی حدود ۳ متر اندازه‌گیری شده است. نقطه GPS بیانگر موقعیت عکس برداری می‌باشد. سه گوشه‌های قرمز رنگ موقعیت خط اثر گسل و پاره خطوط‌های صورتی مقدار جابجایی راستبر آبراهه را نشان می‌دهند.

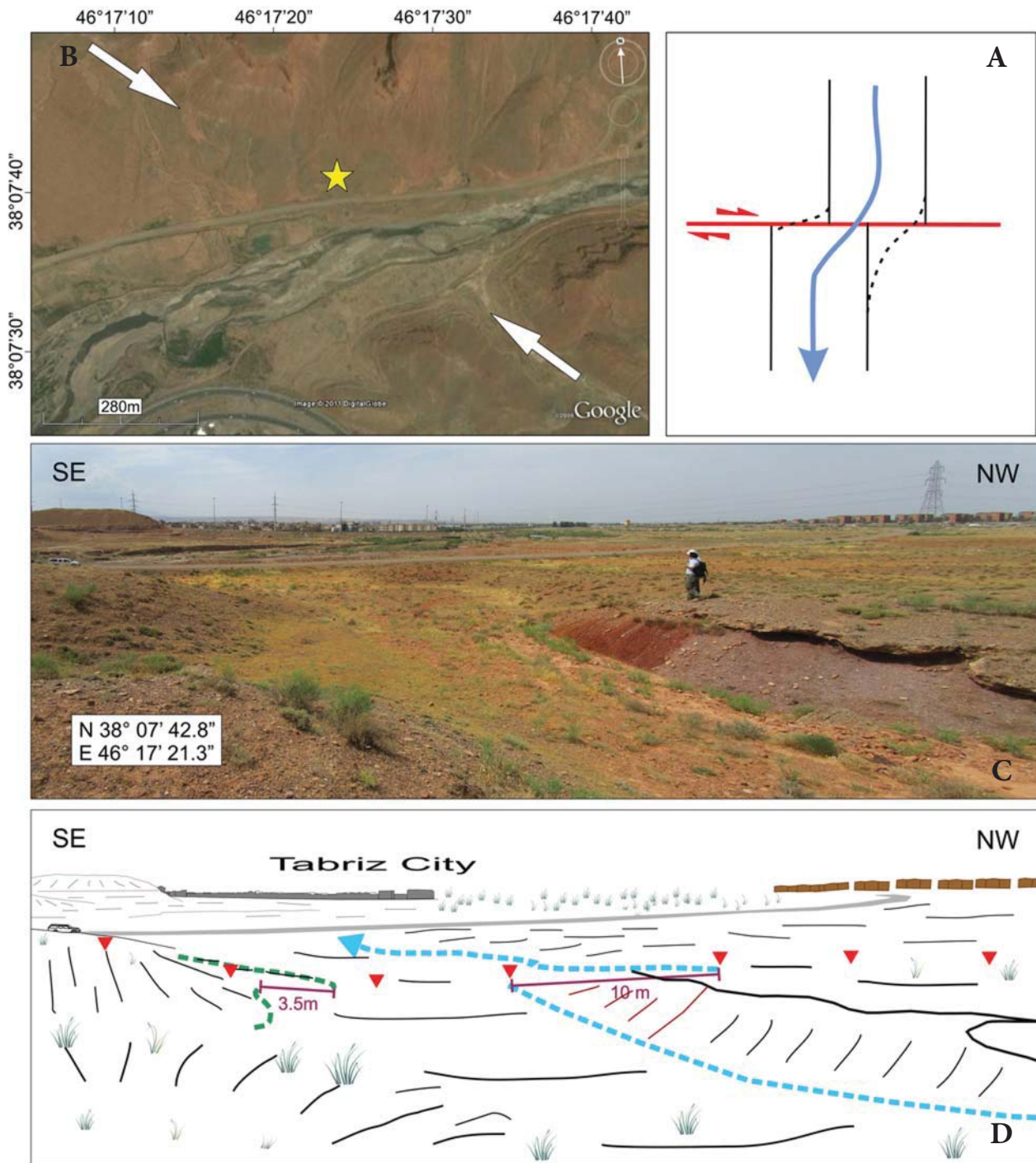
میلادی بود. به بیان ایشان، تعداد رویدادهای لرزه‌ای شناسایی شده در بازه زمانی مشخص در طول قطعه شمال باختری گسل شمال تبریز بیشتر از قطعه جنوب خاوری می‌باشد که می-تواند بیان‌گر کاهش نرخ لغزش هم‌لرز گسلی در طول گسل شمال تبریز (Solaymani Azad, 2009) از شمال باختر به جنوب خاور باشد (Fathian Baneh et al., 2011). با بررسی‌های پارینه لرزه‌شناسی در محدوده پهنه همپوشانی قطعه‌های شمال باختری و جنوب خاوری گسل شمال تبریز، بزرگ‌ترین روند ملرزه‌ای ثبت شده در ترانشه پارینه لرزه‌شناسی مورد مطالعه را $7/4$ برآورد نموده که به نظر ایشان این رویداد می‌تواند در پیوند با زمین‌لرزه سال ۱۷۸۰ میلادی باشد. همچنین بیشینه جابجایی اندازه‌گیری شده در محدوده پهنه همپوشانی قطعه‌های شمال باختری و جنوب خاوری گزارش شده (110 و 117 متر) (هم‌خوان با HESSAMI and JAMALI, 2008) و این موضوع علاوه بر این که می‌تواند گویای گسترش پایانه‌های خاوری قطعه شمال باختری گسل شمال تبریز به مناطق مرکزی تر شهر تبریز باشد، نشان‌گر این نیز هست که پهنه همپوشانی دو قطعه گسلی یاد شده متاثر از جنبایی‌های هر دو قطعه شمال باختری و جنوب خاوری می‌باشد.

به عنوان یکی از گسل‌های جوان در پهنه قطعه شمال باختری گسل شمال تبریز، مطالعات پارینه لرزه‌شناسی بر روی قسمتی از آن انجام گرفته است.

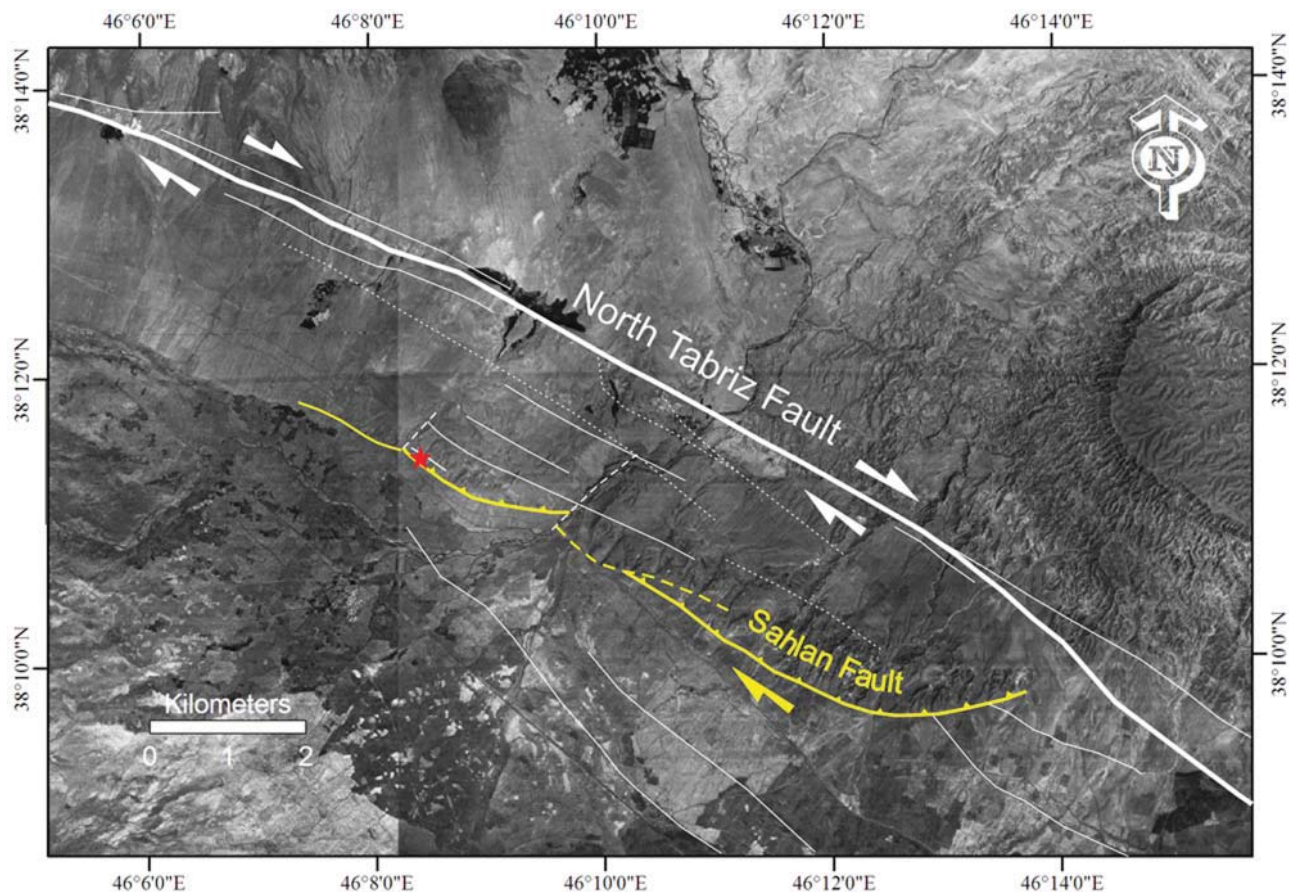
در گستره تبریز و در قسمت‌های مختلف سامانه گسلی شمال تبریز، چند مورد بررسی پارینه لرزه‌شناسی انجام پذیرفته است. نخستین بررسی پارینه لرزه‌شناسی بر روی گسل شمال تبریز، توسط Hessami et al., (2003) و برروی بخش باختری قطعه شمال باختری با حفر دو ترانشه پارینه لرزه‌شناسی در نزدیکی روستای خواجه-مرجان (در شمال باختری تبریز) انجام گرفته و در آن نشانه‌های دست کم چهار رویداد ملرزه‌ای کهن در 3600 سال گذشته شناسایی گردیده که جوان‌ترین آن‌ها مربوط به سال گذشته شناسایی گردیده که جوان‌ترین آن‌ها مربوط به سال گذشته شناسایی گردیده که جوان‌ترین آن‌ها مربوط به رویداد^۱ در پژوهش یاد شده، $4 \pm 0/5$ متر برآورد گردیده است (Hessami et al., 2003).

پس از آن، Solaymani Azad (2009) با تمرکز مطالعات بر روی قطعه جنوب خاوری گسل شمال تبریز و ترانشه‌زنی پارینه لرزه‌شناسی، سه رویداد لرزه‌ای را تا $33/5$ هزار سال گذشته شناسایی نمود که آخرین آن‌ها مربوط به زمین‌لرزه سال ۱۷۲۱

1. slip per-event



شکل ۶. (A) موقعیت ساختمان جابجایی افقی آبراهه در شمال خاور فرودگاه، شمال باختر تبریز بر روی تصویر ماهواره‌ای Google Earth، (B) تصویر شماتیک برای توجیه علت فرسایش زیاد ساحل سمت چپ آبراهه، (C) دو مقنار جابجایی راست بر ۱۰ متر و $\frac{3}{5}$ متر در نزدیکی یکدیگر، که بر روی آبراهه و پشه ثبت شده است و نشان از جابجایی افقی تجمعی و منسوب به آخرین رویداد لرزه‌ای دارد، نقطه GPS موقعیت عکس‌برداری را نشان می‌دهد، (D) تصویر شماتیک شکل C که در آن موقعیت شهر تبریز و آبراهه و پشه نمایش داده شده است، سه گوشه‌های قرمز رنگ نشان‌کر خط اثر کسل می‌باشد.



شکل ۷. عکس هوایی با مقیاس ۱:۵۵۰۰۰ از منطقه مورد مطالعه در باخته تبریز (محل ترانشه بر روی گسل جوان سهلان واقع شده و با ستاره قرمز رنگ نمایش داده شده است).

چین خوردن واحدهای ۶، ۷ و ۸ از زمان رویداد زمین لرزه سوم صورت گرفته باشد. در جدول ۱، رویدادهای لرزه‌ای شناسایی شده در لوگ ترانشه پارینه لرزه‌شناختی گسل سهلان و شواهد لرزه‌ای زمین لرزه‌های پارینه آورده شده است.

با توجه به این که نمونه‌گیری از افق‌های رویداد به منظور سن سنجی انجام نگرفته است، زمان وقوع رویدادهای لرزه ای به طور نسبی بیان شده است.

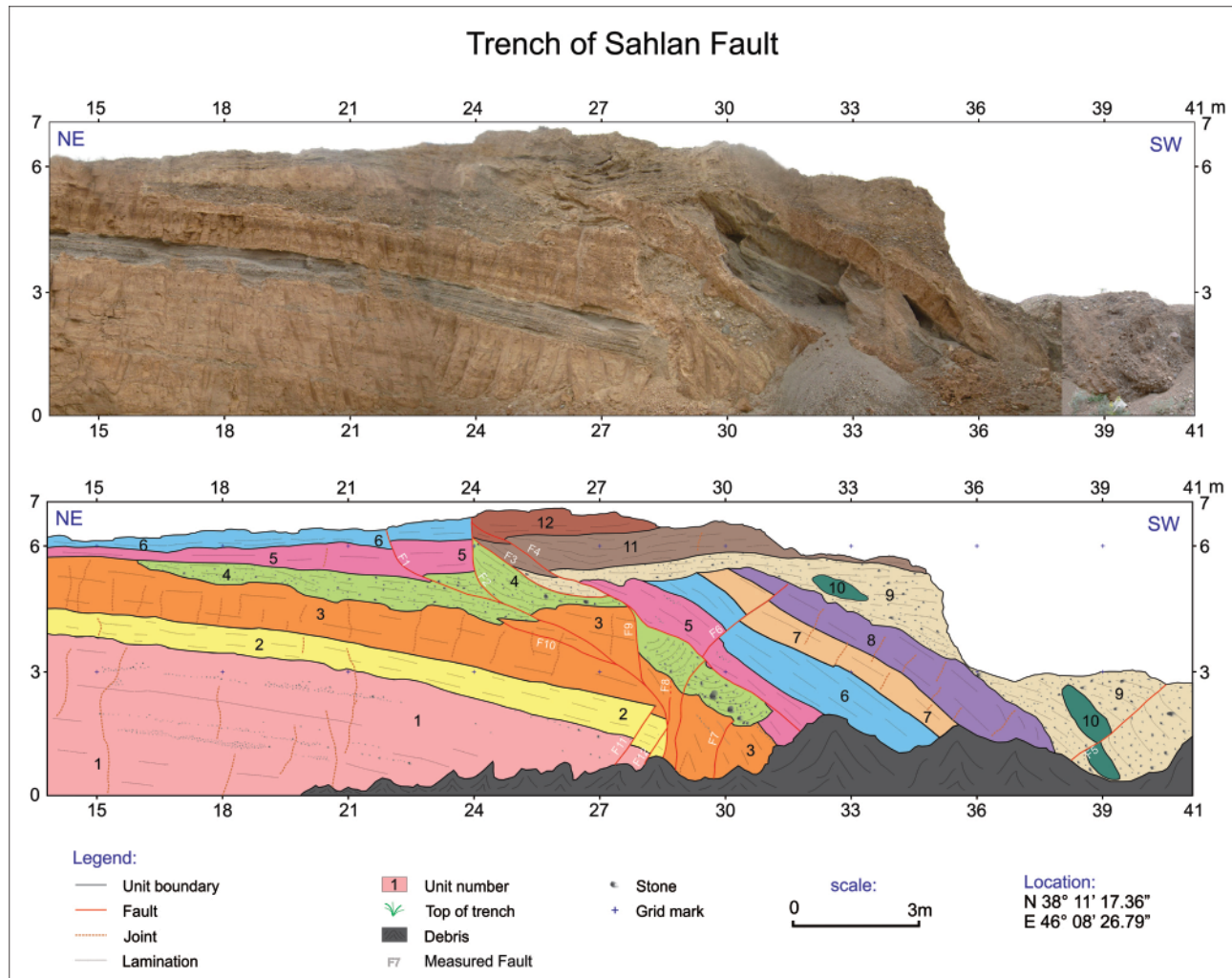
به منظور محاسبه مقدار جابجایی شاقولی بر روی صفحه گسلی در هر رویداد (V_f)، عملیات بازسازی لوگ انجام گردید (شکل ۱۰). با در اختیار داشتن مقادیر V_f و H در هر رویداد زمین لرزه پارینه و با توجه به زاویه ریک نزدیک به ۵ درجه که از بررسی‌های ریخت‌زمین‌ساختی به دست آمد، از یکی از رابطه‌های ۱ و ۲ استفاده گردید و مقادیر جابجایی خالص هر زمین لرزه به دست آمد (جدول ۲). در نهایت با داشتن مقادیر جابجایی خالص و با استفاده از رابطه Wells and Coppersmith (1994) (رابطه ۳) مقدار بزرگ‌تری زمین لرزه‌های پارینه در گسل‌های راست‌الغرض محاسبه گردید (جدول ۲).

- ۱) Net Slip = $H/\cos(\text{Rake})$
- ۲) Net Slip = $V_f / \sin(\text{Rake})$
- ۳) $F_{\text{Strike-Slip}} : M_w = 7.04 + 0.89 \log(AD)$

ترانشه مورد پژوهش در باخته شهر تبریز و بر روی بلوك جنوبی قطعه شمال باخته گسل شمال تبریز و در مختصات جغرافیایی "۱۱°۳۶'۱۷" شمالي و "۴۶°۸'۲۶۷۹" خاوری و عمود بر گسل سهلان قرار دارد (شکل ۸).

افق‌های چینهای که به عنوان نهشته اصلی در دیواره از هم تقسیک می‌شوند، دارای ویژگی‌های فیزیکی از جمله سنگ شناختی و هوازدگی یکسان و خاصی مانند رنگ، اندازه و درصد دانه‌ها، جوشیدگی و گردشیدگی دانه‌ها، ضخامت لایه‌بندی و ... می‌باشند. ۱۲ افق نهشتی- چینهای در این دیواره تشخیص داده شده است. بررسی افق‌های یادشده بیان گر نهشتگی آن‌ها در یک محیط مخروط افکنه‌ای می‌باشد.

افق‌های رویداد چهار زمین لرزه پارینه در دیواره سهلان، در شکل ۹ آورده شده است. (افق آخرین رویداد که سطح زمین در نظر گرفته شده است، با رنگ سیاه و به صورت خط‌چین نشان داده شده است). خط‌چین‌های زرد، سفید و آبی تیره به ترتیب نمایش گر افق‌های رویداد دوم، سوم و چهارم می‌باشد. افق رویداد دوم در قاعده افق ۹ قرار دارد و بنابراین افق پس از رویداد دوم محسوب می‌گردد. افق رویداد سوم در قاعده افق ۴ و افق رویداد چهارم در قاعده افق ۳ ترسیم گردیده است و این افق‌ها به ترتیب افق پس رویداد سوم و چهارم می‌باشند. به نظر می‌رسد



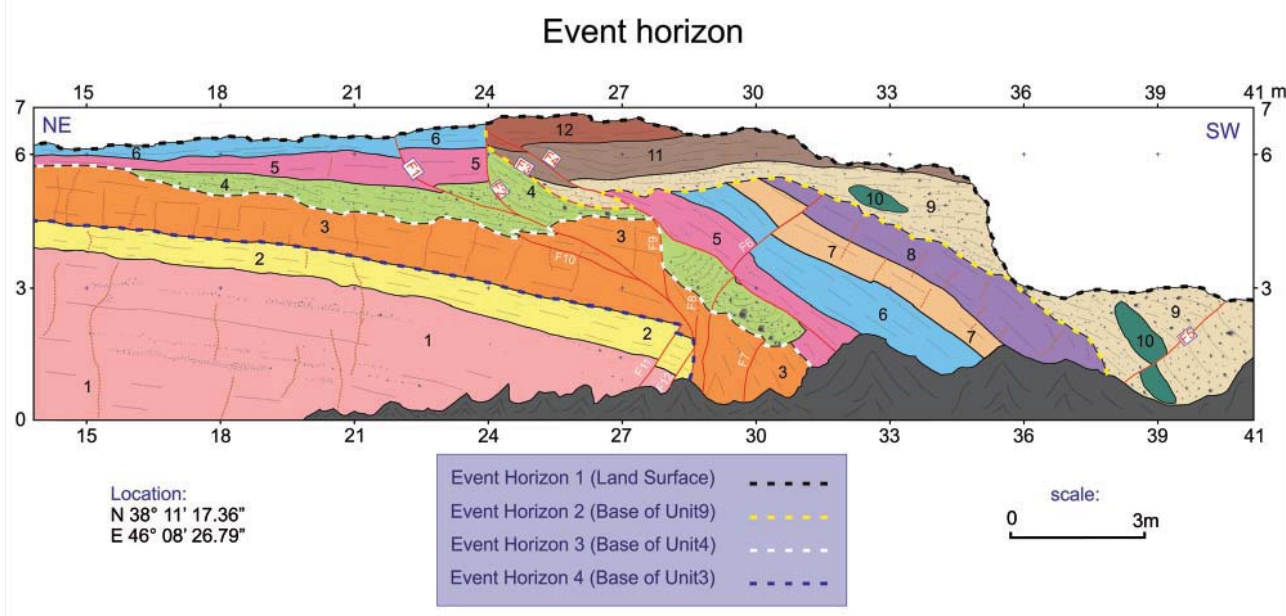
شکل ۸. تصویر پانوراما شده و لوگ ترانشه پارینه لرزه‌شناسی بر روی شاخه گسلی سهلان از پهنه گسلی شمال تبریز در شمال روستای سهلان.

جدول ۱. رویدادهای لرزه‌ای شناسایی شده در لوگ ترانشه گسل سهلان و شواهد لرزه‌ای زمین لرزه‌های پارینه

| رویداد ^۱ | افق لرزه‌ای ^۲ | شواهد |
|---------------------|--------------------------|--|
| رویداد ۱ | سطح کنونی زمین | شکل‌گیری گسل‌های F1، F2، F3، F4 و F5 تا سطح زمین |
| رویداد ۲ | قاعده افق ۹ | خاتمه گسل F6 در قاعده افق ۹ |
| رویداد ۳ | قاعده افق ۴ | خاتمه جابجایی شاقولی گسل‌های F7، F8 و F10 در قاعده افق ۴ |
| رویداد ۴ | قاعده افق ۳ | خاتمه جابجایی شاقولی گسل‌های F11 و F12 در قاعده افق ۳ |

1. Event

2. Event Horizon



شکل ۹. نمایش رویداد چهار زمین‌لرزه پارینه شناسایی شده در پهنه گسلی شمال تبریز بر روی دیواره پارینه لرزه‌شناختی سهلان. خط‌چین‌ها افق رویداد زمین‌لرزه‌های پارینه را نمایش می‌دهد. خط‌چین سیاه رنگ افق آخرین رویداد زمین‌لرزه را نشان می‌دهد و خط‌چین‌های زرد، سفید و آبی تیره به ترتیب نمایش گر افق‌های رویداد دوم، سوم و چهارم می‌باشد.

مقایسه با جابجایی‌های افقی بسیار کم است و در برخی نقاط به صفر می‌رسد، می‌توان سازوکار چیره قطعه شمال باختり گسل شمال تبریز را راستالغز راست بر در نظر گرفت که با داده‌های جدید شبکه GPS این گستره از کشور نیز مطابقت دارد.

بر پایه پژوهش‌های پارینه لرزه‌شناختی و با بررسی دیواره عمودی بر بخش شمال باختري گسل شمال تبریز در شمال روستای سهلان و بر روی گسل سهلان (که به عنوان بخشی از قطعه شمال باختري سامانه گسلی شمال تبریز با درازای حدود ۱۰ کیلومتر و راستای شمال باختري - جنوب خاوری به موازات گسل شمال تبریز معرفی گردیده است)، آثار دست کم چهار زمین‌لرزه کهن با بزرگای بیش از $M_w = 6$ شناسایی شده است.

بزرگای جوانترین رویداد ثبت شده در ترانشه پارینه لرزه‌شناختی مورد مطالعه در حدود ۷ برآورد شده است که به نظر می‌رسد بتوان با توجه به وضعیت چینه‌شناختی و موقعیت مکانی دیواره مورد مطالعه نسبت به سامانه گسلی شمال تبریز و پهنه معرفی شده برای رخداد تاریخی سال ۱۷۸۰ میلادی، این رویداد را در ارتباط با زمین‌لرزه تاریخی سال ۱۷۸۰ میلادی

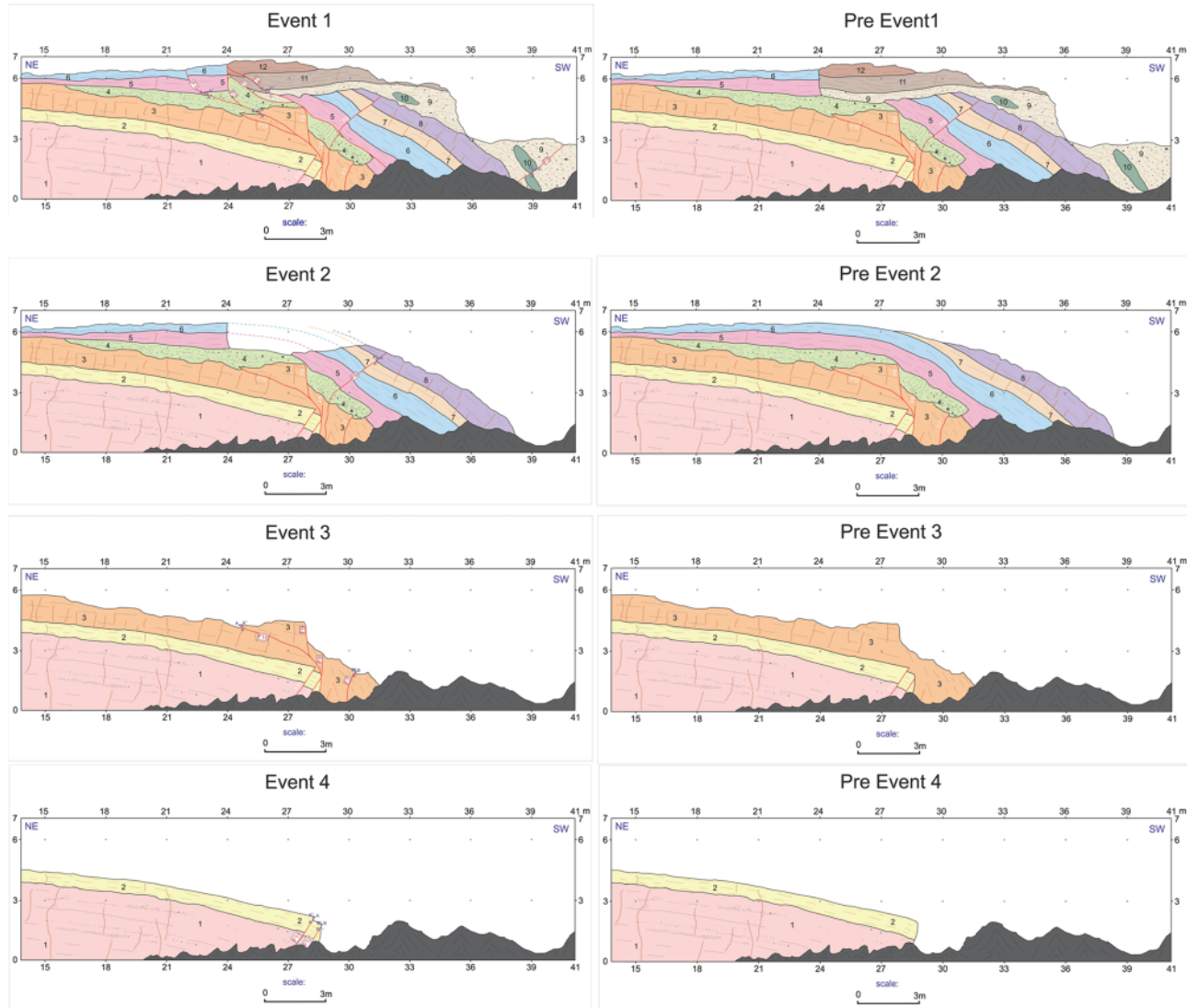
در روابط ذکر شده در بالا، V_f جابجایی روی سطح گسل، H جابجایی افقی، Net Slip مقدار جابجایی خالص بر حسب متر، AD جابجایی میانگین و M_w بزرگای زمین‌لرزه‌های پارینه می‌باشد.

نتیجه‌گیری

مطالعات و بازدیدهای صحرایی انجام پذیرفته در قسمت‌های مختلف قطعه شمال باختري گسل شمال تبریز نمایانگر وجود آثار ریخت‌زمین‌ساختی گوناگون ناشی از جنبایی زمین‌ساختی جوان در راستای این گسل است. آبراهه‌های موجود در گستره مورد پژوهش با مقادیر مختلفی از جابجایی راست بر، نشان‌گر تاثیر چندین رویداد گسل‌شی یا جابجایی‌های تدریجی هم‌لرز در منطقه می‌باشد. در بررسی‌های انجام گرفته بر پایه روش زمین‌شناختی، جابجایی راست بر آخرین رویداد $3/5 \pm 0.5$ متر برآورد گردید که با مقادیر جابجایی افقی برآورد شده توسط دیگر پژوهشگران مطابقت می‌کند. جابجایی شاقولی بین ۰ و ۰/۵ متر متغیر است. با توجه به این که میزان جابجایی‌های شاقولی در

جدول ۲- برآورد مقادیر جابجایی و بزرگای زمین‌لرزه‌های پارینه شناسایی شده بر روی گسل سهلان

| Number of Event | V_f (m) | H (m) | Net Slip (m) | M_w (AD) SS | M_w (AD) G | M_w |
|-----------------|-----------|-------|--------------|------------------|-----------------|-----------------|
| 1 | 0.78 | 0.72 | 0.73 | 7.01 | 6.9 | 0.5 ± 7 |
| 2 | 0.2 | 0.15 | 0.16 | 6.42 | 6.36 | 0.03 ± 6.4 |
| 3 | 0.25 | 0.21 | 0.22 | 6.5 | 6.44 | 0.05 ± 6.4 |
| 4 | 0.39 | 0.21 | 0.22 | 6.7 | 6.6 | 0.05 ± 6.65 |



شکل ۱۰. نمایش مراحل بازسازی لوگ پارینه لرزه‌شناسی برای چهار زمین‌لرزه پارینه شناسایی شده بر روی گسل سهلان

طالیان، م.، علیمردان، س. و شکری، مع.، ۱۳۹۰. نشانه‌های ریخت‌زمین‌ساختی از جنبایی راستالغز - راستبر محض بر روی قطعه شمال باختری گسل شمال تبریز، شمال باختری ایران، سی‌امین گردهمایی علوم زمین، سازمان زمین‌شناسی و اکتشافات معدنی کشور.

- فریدی، م. و خدابنده، ع.، ۱۳۹۰. الف. گزارش نقشه زمین‌شناسی تبریز I به مقیاس ۱:۲۵۰۰۰. سازمان زمین‌شناسی و اکتشافات معدنی کشور.

- فریدی، م. و خدابنده، ع.، ۱۳۹۰. ب. گزارش نقشه زمین‌شناسی کرگه به مقیاس ۱:۲۵۰۰۰. ویرایش دوم. سازمان زمین‌شناسی و اکتشافات معدنی کشور.

- فریدی، م.، سیدی صاحب‌اری، پ.، وکیل باغمیشه، ف. و زمانی مهر، س.، ۱۳۹۰. گزارش نقشه زمین‌شناسی سهلان به مقیاس ۱:۲۵۰۰۰. سازمان زمین‌شناسی و اکتشافات معدنی کشور.

- سلیمانی آزاد، ش.، فیلیپ، ه.، حسامی آذر، خ. و دومینگر، ا.، ۱۳۸۸. چگونگی رویداد گسلش زمین‌لرزه‌ای در متنه‌ایه

($M_S = 7/4$) دانست. با این وجود اثبات چنین انگاشتی نیازمند انجام آزمایش‌های تعیین سن بر روی واحدهای چینه‌ای شماره ۶، ۹، ۱۲ و ۴ با هدف تعیین مرزهای زمانی بالایی و پایینی هر رخداد لرزه‌ای و تعیین دوره بازگشت رویدادهای مزبور می‌باشد.

قدرتانی

پژوهش حاضر با پشتیبانی علمی و مالی سازمان زمین‌شناسی و اکتشافات معدنی کشور، پژوهشکده علوم زمین و مدیریت منطقه شمال باختری (مرکز تبریز) انجام پذیرفته است که بدین وسیله از ایشان قدردانی به عمل می‌آید. همچنین از مهندس سعیده علیمردان، مهندس آرام فتحیان و مهندس مرضیه جلالزاده به سبب حضور در بخشی از برداشت‌های صحرایی سپاسگزاری می‌گردد.

منابع

- احمدزاده، ا.، سلیمانی آزاد، ش.، فریدی، م.، نظری، ح.،

Eastern Turkey and North-Western Iran. Tectonophysics. 380, 189-219.

- Masson, F., Djamour, Y., Van Gorp, S., Chéry, J., Tatar, M., Tavakoli, F., Nankali, H. and Vernant, P., 2006. Extension in NW Iran driven by the motion of the South Caspian Basin. Earth and Planetary Science Letters. 252, 180-188.

- Ritz, J.-F., Rizza, M., Vernant, P., Peyret, M., Nazari, H., Nankali, H., Djamour, Y., Mahan, S., Salamat, R. and Tavakoli, F., 2011. Morphotectonics and geodetic evidences for a constant slip-rate along the Tabriz Fault (Iran) during the past 45 kyr, American Geophysical Union (AGU). Fall Meeting. abstract #T44A-07.

- Rizza, M., Vernant, P., Ritz, J.F., Peyret. M., Nankali, H., Nazari, H., Djamour, Y., Salamat, R., Tavakoli, F., Chery, J., Mahan, S.A. and Masson, F., 2013. Morphotectonics and geodetic evidences for a constant slip-rate over the last 45 kyr along the Tabriz Fault (Iran). Geophysical Journal International (GJI). 193 (3): 1083-1094.

- Solaymani Azad, S., 2009. Evaluation de l'alea sismique pour les villes de Tehran, Tabriz et Zandjan dans le NW de l'Iran approche morphotectonique et paleoseismologique, Phd. Thesis, Faculté des Sciences et techniques du Languedoc l'Université Montpellier II (France). 151.

- Solaymani Azad, S., Philip, H., Dominguez, S., Hessami, Kh., Shahpasand zadeh, M., Forutan, M., Tabassi, H. and Lamothe, M., 2012. Paleoseismological and morphological evidence of slip variations along the North Tabriz Fault (NW Iran), in press in Geophysical Journal International (GJI).

- Vernant, P., Nilforoushan, F., Hatzfeld, D., Abbassi, M.R., Vigny, C., Masson, F., Nankali, H., Martinod, J., Ashtiani, A., Bayer, R., Tavakoli, F. and Chery, J., 2004. Present-day crustal deformation and plate kinematics in the Middle East constrained by GPS measurements in Iran and northern Oman. Geophysical Journal International (GJI). 157, 381-398.

- Wells, D.L., and Coppersmith, K.J., 1994. Empirical relationships among magnitude, rupture length, rupture area, and surface displacement. Bulletin of the Seismological Society of America. 84, 974-1002.

جنوب خاوری شبکه گسلی گیلاتو - سیه چشم - خوی و نقش آن در بررسی های برآورد خطر زمین- لرزه در شمال باختر ایران. بیست و هفتمین گردهمایی علوم زمین و میزدهمین همایش انجمن زمین شناسی ایران.

- Ambraseys, N. and Melville, C.P., 1982. A history of Persian Earthquakes. Cambridge University Press, Cambridge, 223.

- Berberian, M., 1997. Seismic sources of the Transcaucasian historical earthquakes. In: Giardini, D., Balassanian, S. (Eds.), Historical and Prehistorical Earthquakes in the Caucasus. Kluwer Academic Publishing, Dordrecht, Netherlands, 33-311.

- Berberian, M. and Arshadi, S., 1976. On the evidence of the youngest activity of the North Tabriz fault and the seismicity of Tabriz city, Rep. 39, Geological Survey of Iran.

- Djamour, Y., Vernant, P., Nankali, H. and Tavakoli, F., 2010. NW Iran-Eastern Turkey present-day kinematics: results from the Iranian Permanent GPS Network. Accepted in Geophysical Journal International, 307, 27-34.

- Eftekharnejad, J., 1975. Brief history and structural development of Azarbaijan. Geological Survey of Iran, internal report, 8.

- Fathian Baneh, A., Solaymani Azad, S., Nazari, H., Ghorashi, M. and Talebian, M., 2011. Preliminary results of new paleoseismological investigations along the North Tabriz Fault, NW Iran. International Union of Geodesy and Geophysics (IUGG) General Assembly, Melbourne, Australia 28 June-7 July, 2011.

- Hessami, K. and Jamali, F., 2008. New evidence of earthquake faulting in the Tabriz city, NW Iran. Geoscience, 17, 156-161.

- Hessami, K., Pantosi, D., Tabassi, H., Shabanian, E., Abbassi, M., Feghhi, K. and Solaymani, S., 2003. Paleoearthquakes and slip rates of the North Tabriz Fault, NW Iran: preliminary results, Annals of Geophysics., 46, 903-915.

- Karakhanian, A.S., Trifonov, V.G., Philip, H., Avagyan, A., Hessami, K., Jamali, F., Bayraktutan, M.S., Bagdasarian, H., Arakelian, S., Davtian, V. and Adilkhanian, A., 2004. Active faulting and natural hazards in Armenia,